

日本大学理工学部 正員 近藤 効

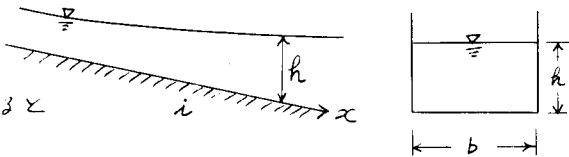
§. 1. まえがき

一様な開水路の不等流(水面形)計算法に関する研究は古くからなされてきた。¹⁾ 特に一様な矩形断面開水路についての研究が多い。しかしそれはとしどが広矩形開水路(いわゆる径深を水深に等しいとみなし)に関するものであった。また, Balkhmeteff, 物部, 最近では V.T. Chow 等により特定な断面水路ではなく一般的な一様断面開水路に適用し得る不等流関数の研究がなされているが, 一般的断面に対してのものである代り, 少少計算に煩雑さが感じられる。

また, 最近上水, 下水道用および工業用等の人工水路の必要性が高くなり, その中に幅の広くない矩形水路が多く見受けられる。以上のことより幅の広くない矩形水路の不等流計算法について若干の考察をしてみる。

§. 2. 側こう配の場合について

図のような矩形水路に対しての水深の流れ方向の変化率は Chézy の平均流速公式を用いるとよく知られていうように次のようになる²⁾



$$\frac{dh}{dx} = \left(i - \frac{\alpha^2}{c^2 R A^2} \right) / \left(1 - \frac{\alpha Q^2 T}{g A^3} \right) \quad \dots \quad (1)$$

等流の流れが存在するものと仮定される場合の諸量には添字 0 をつけ, 限界水深時の諸量には添字 c をつけたもので (1) を変形し, $h_c/b = m_c$, $h_0/b = m_0$, $h/b = \eta$ とすると,

$$i d\left(\frac{\eta}{b}\right) = (\eta^3 - m_c^3) d\eta / \left\{ \eta^3 - \left(\frac{c_0}{c}\right)^2 \frac{m_c^3}{1+2m_0} (2\eta + 1) \right\} \quad \dots \quad (2)$$

ここで, 先ず $c = c_0$ とすると, (2) は (3) のようになり被積分関数の各三項の分母の判別式 (D) により次の三つに分類され, それぞれ完全積分される。

$$i \int d\left(\frac{\eta}{b}\right) = \int \left[1 + \frac{\frac{m_0(2m_0+1)}{4m_0+3} - \frac{(2m_0+1)m_c^3}{m_0^2(4m_0+3)}}{\eta - m_0} \right. \\ \left. + \frac{\left\{ -\frac{m_0(2m_0+1)}{4m_0+3} + \frac{(2m_0+1)m_c^3}{m_0^2(4m_0+3)} \right\} \eta + \frac{2m_0^2(4m_0^2+m_0-1)}{(2m_0+1)(4m_0+3)} + \frac{2(2m_0+1)m_c^3}{m_0(4m_0+3)}}{\eta^2 + m_0\eta + \frac{m_0^2}{2m_0+1}} \right] d\eta + \text{const} \quad \dots \quad (3)$$

A-I), $D > 0$, すなわち $m_0 = h_0/b > \frac{3}{2}$ の場合

$$i \frac{x}{b} = \eta + \frac{m_0(2m_0+1)}{4m_0+3} \ln \frac{|\eta - m_0|}{\sqrt{\eta^2 + m_0\eta + \frac{m_0^2}{2m_0+1}}} + \frac{m_0(20m_0^2+8m_0-3)}{2(4m_0+3)\sqrt{(2m_0+1)(2m_0-3)}} \ln \left| \frac{2\eta + m_0 - m_0\sqrt{\frac{2m_0-3}{2m_0+1}}}{2\eta + m_0 + m_0\sqrt{\frac{2m_0-3}{2m_0+1}}} \right| \\ + m_c^3 \left[-\frac{2m_0+1}{m_0^2(4m_0+3)} \ln \frac{|\eta - m_0|}{\sqrt{\eta^2 + m_0\eta + \frac{m_0^2}{2m_0+1}}} + \frac{3(2m_0+1)^{\frac{3}{2}}}{2m_0^2(4m_0+3)(2m_0-3)} \ln \left| \frac{2\eta + m_0 - m_0\sqrt{\frac{2m_0-3}{2m_0+1}}}{2\eta + m_0 + m_0\sqrt{\frac{2m_0-3}{2m_0+1}}} \right| \right]$$

+ const - - - - - (4)

(4) の右辺第1～3項までを $F_1(\eta, m_o)$, [] 内を $\bar{F}_1(\eta, m_o)$ とすると

$$i \frac{x}{b} = F_1(\eta, m_o) + m_c^3 \bar{F}_1(\eta, m_o) + \text{const} - - - - - (5)$$

A-II), $D=0$, すなはち $m_o = h_o/b = \frac{3}{2}$ の場合

$$\begin{aligned} i \frac{x}{b} &= \eta + \left\{ \frac{m_o(2m_o+1)}{4m_o+3} - \frac{2m_o+1}{m_o^2(4m_o+3)} \cdot m_c^3 \right\} \ln |\eta - m_o| \\ &\quad + \left\{ -\frac{m_o(2m_o+1)}{2(4m_o+3)} + \frac{2m_o+1}{2m_o^2(4m_o+3)} m_c^3 \right\} \ln |\eta^2 + m_o\eta + \frac{m_o^2}{2m_o+1}| \\ &\quad + \left\{ \frac{m_o^2}{2} \cdot \frac{20m_o^2+8m_o-3}{(4m_o+3)(2m_o+1)} - \frac{(2m_o+1)(2m_o-3)}{2m_o(4m_o+3)} \cdot m_c^3 \right\} \frac{(-2)}{2\eta+m_o} + \text{const} \\ &= \eta + \frac{2}{3} \ln |\eta - \frac{3}{2}| - \frac{1}{3} \ln (\eta^2 + \frac{3}{2}\eta + \frac{9}{16}) - \frac{27}{8(2\eta + \frac{3}{2})} \\ &\quad + m_c^3 \left\{ -\frac{16}{81} \ln |\eta - \frac{3}{2}| + \frac{8}{81} \ln (\eta^2 + \frac{3}{2}\eta + \frac{9}{16}) + \frac{8}{27(2\eta + \frac{3}{2})} \right\} + \text{const} \\ &= F_2(\eta) + m_c^3 \bar{F}_2(\eta) + \text{const} - - - - - (6) \end{aligned}$$

A-III), $D < 0$, すなはち $m_o = h_o/b < \frac{3}{2}$ の場合³⁾.

$$\begin{aligned} i \frac{x}{b} &= \eta + \frac{m_o(2m_o+1)}{4m_o+3} \ln \frac{|\eta - m_o|}{\sqrt{\eta^2 + m_o\eta + \frac{m_o^2}{2m_o+1}}} + \frac{m_o(20m_o^2+8m_o-3)}{(4m_o+3)\sqrt{(2m_o+1)(3-2m_o)}} \arctan \frac{(2\eta+m_o)\sqrt{2m_o+1}}{m_o\sqrt{3-2m_o}} \\ &\quad + m_c^3 \left[-\frac{2m_o+1}{m_o^2(4m_o+3)} \ln \frac{|\eta - m_o|}{\sqrt{\eta^2 + m_o\eta + \frac{m_o^2}{2m_o+1}}} + \frac{3(2m_o+1)^{\frac{3}{2}}}{m_o^2(4m_o+3)\sqrt{3-2m_o}} \arctan \frac{(2\eta+m_o)\sqrt{2m_o+1}}{m_o\sqrt{3-2m_o}} \right] \\ &\quad + \text{const} \\ &= F_3(\eta, m_o) + m_c^3 \bar{F}_3(\eta, m_o) + \text{const} - - - - - (7) \end{aligned}$$

以上のように (5), (6), (7) は完全積分されたのであるが、 $C=C_0$ の仮定の基であり矩形水路に方いでは $\frac{dR}{dx} > 0$ であるので、抵抗則に現在広く使われている Manning 式を用いると Chezy の係数との関係は $C = \frac{1}{n} R^{\frac{1}{2}}$ であるから、不等流の水深 (h) が等流水深 (h_0) より大きな所では $C > C_0$ 、また h_0 より小さな所では $C < C_0$ であるが h_0 近くの所ではこの仮定はある程度許されると思われるが、それが h_0 から離れるに従い誤差が大きくなる。しかし M_1, M_2, S_1 および S_3 で示される水面形の場合 h との差が大きい所では速度水頭の項の変動が大きくなり、 $C = C_0$ の仮定による誤差はあまり大きくはないようである。また、もとと精度を上げるために考えていく区间（あまり C が変化しないと思われる区间）では C は一定（例えばその区間の平均水深に対するもの）と考えて (2) を積分

する方法を考えてみる。そのため $R(\frac{c}{C})^2 \frac{m_c^3}{1+2\mu m_c} = \mu$ とおき、考えていく積分区间では一定とする、(2) の右辺分母の三次式の判別式 (D) により次に示すように二種類に分類される。

B-I), D < 0 の場合、(三次式は一つの正の実根をもつ)

$$D = -32\mu^2(-\mu + \frac{27}{32}) < 0 \quad \therefore \mu < \frac{27}{32} = 0.844$$

この場合には (2) は次のようにならう。

$$id(\frac{x}{b}) = \left\{ 1 + \frac{A}{\eta-a-a'} + \frac{B\eta+C}{\eta^2+(\alpha+\alpha')\eta+\alpha^2-\alpha'\alpha'+\alpha'^2} \right\} d\eta$$

ここで

$$\alpha = \left(\frac{\mu}{2} + \sqrt{\frac{\mu^2}{4} - \frac{8}{27}\mu^3} \right)^{1/3}, \quad \alpha' = \left(\frac{\mu}{2} - \sqrt{\frac{\mu^2}{4} - \frac{8}{27}\mu^3} \right)^{1/3}$$

$$A = \frac{\mu(2\alpha+2\alpha'+1)}{3(\alpha^2+\alpha\alpha'+\alpha'^2)} - \frac{m_c^3}{3(\alpha^2+\alpha\alpha'+\alpha'^2)}, \quad B = -\frac{\mu(2\alpha+2\alpha'+1)}{3(\alpha^2+\alpha\alpha'+\alpha'^2)} + \frac{m_c^3}{3(\alpha^2+\alpha\alpha'+\alpha'^2)}$$

$$C = \frac{2\mu(\alpha^2-\alpha\alpha'+\alpha'^2-\alpha-\alpha')}{3(\alpha^2+\alpha\alpha'+\alpha'^2)} + m_c^3 \frac{2(\alpha+\alpha')}{3(\alpha^2+\alpha\alpha'+\alpha'^2)}$$

そして次のように積分される。

$$id(\frac{x}{b}) = \eta + \frac{\mu(2\alpha+2\alpha'+1)}{6(\alpha^2+\alpha\alpha'+\alpha'^2)} \ln \frac{(\eta-\alpha-\alpha')^2}{\eta^2+(\alpha+\alpha')\eta+\alpha^2-\alpha\alpha'+\alpha'^2}$$

$$+ \frac{3\mu(2\alpha^2+2\alpha'^2-\alpha-\alpha')}{\sqrt{\mu^2 \sqrt{27-32\mu}}} \arctan \frac{2\eta+\alpha+\alpha'}{\sqrt{3}(\alpha-\alpha')}$$

$$+ m_c^3 \left[-\frac{\ln \left\{ \frac{(\eta-\alpha-\alpha')^2}{\eta^2+(\alpha+\alpha')\eta+\alpha^2-\alpha\alpha'+\alpha'^2} \right\}}{6(\alpha^2+\alpha\alpha'+\alpha'^2)} + \frac{3(\alpha+\alpha')}{\sqrt{\mu^2 \sqrt{27-32\mu}}} \arctan \frac{2\eta+\alpha+\alpha'}{\sqrt{3}(\alpha-\alpha')} \right]$$

$$+ \text{const} = F_4(\eta, \mu) + m_c^3 \bar{F}_4(\eta, \mu) + \text{const} \quad \dots \quad (8)$$

B-II), D ≥ 0 の場合、すなわち $\mu \geq \frac{27}{32} = 0.844$ (三次式は一つの正実根と二つの負実根を三つの根をそれぞれ η_1, η_2, η_3 すると、

$$\eta_1 = \frac{4}{3}\mu \cos \frac{\theta}{3}, \quad \eta_2 = -\frac{2}{3}\mu \left(\cos \frac{\theta}{3} + \sqrt{3} \sin \frac{\theta}{3} \right), \quad \eta_3 = -\frac{2}{3}\mu \left(\cos \frac{\theta}{3} - \sqrt{3} \sin \frac{\theta}{3} \right)$$

$$\text{ここで } \theta = \arccos \sqrt{\frac{27}{32\mu}} \text{ または, } \theta = \arcsin \sqrt{1 - \frac{27}{32\mu}}$$

これらを用いると (2) は、

$$id(\frac{x}{b}) = \left\{ 1 + \frac{E}{\eta - \frac{4}{3}\mu \cos \frac{\theta}{3}} + \frac{G}{\eta + \frac{2}{3}\mu \left(\cos \frac{\theta}{3} + \sqrt{3} \sin \frac{\theta}{3} \right)} + \frac{H}{\eta + \frac{2}{3}\mu \left(\cos \frac{\theta}{3} - \sqrt{3} \sin \frac{\theta}{3} \right)} \right\} d\eta$$

ここで、E, G, H は μ に無関係で、 μ だけによることである。

これは積分され次のようになる。

$$\begin{aligned}
i \frac{x}{b} = & \eta + \frac{3}{4\mu} \cdot \frac{1 + \frac{8}{3}\mu \cos \frac{\theta}{3}}{3\sin^2 \frac{\theta}{3} - \sin^2 \frac{\theta}{3}} \ln \left| \eta - \frac{4}{3}\mu \cos \frac{\theta}{3} \right| \\
& + \frac{3(-20\mu \cos^2 \frac{\theta}{3} + 3\cos \frac{\theta}{3} + \frac{8\sqrt{3}}{3}\mu \cos \frac{\theta}{3} \sin \frac{\theta}{3} - \sqrt{3} \sin \frac{\theta}{3} + 4\mu \sin^2 \frac{\theta}{3})}{8\sqrt{3}\mu \sin \frac{\theta}{3} \cdot (3\cos^2 \frac{\theta}{3} - \sin^2 \frac{\theta}{3})} \ln \left\{ \eta + \frac{2}{3}\mu (\cos \frac{\theta}{3} + \sqrt{3} \sin \frac{\theta}{3}) \right\} \\
& - \frac{3(-20\mu \cos^2 \frac{\theta}{3} + 3\cos \frac{\theta}{3} + \frac{8\sqrt{3}}{3}\mu \cos \frac{\theta}{3} \sin \frac{\theta}{3} + \sqrt{3} \sin \frac{\theta}{3} + 4\mu \sin^2 \frac{\theta}{3})}{8\sqrt{3}\mu \sin \frac{\theta}{3} \cdot (3\cos^2 \frac{\theta}{3} - \sin^2 \frac{\theta}{3})} \ln \left\{ \eta + \frac{2}{3}\mu (\cos \frac{\theta}{3} - \sqrt{3} \sin \frac{\theta}{3}) \right\} \\
& + m_c^3 \left[\frac{-3}{4\mu^2 (3\cos^2 \frac{\theta}{3} - \sin^2 \frac{\theta}{3})} \cdot \ln \left| \eta - \frac{4}{3}\mu \cos \frac{\theta}{3} \right| \right. \\
& - \frac{3(3\cos \frac{\theta}{3} - \sqrt{3} \sin \frac{\theta}{3})}{8\sqrt{3}\mu^2 \sin \frac{\theta}{3} \cdot (3\cos^2 \frac{\theta}{3} - \sin^2 \frac{\theta}{3})} \ln \left\{ \eta + \frac{2}{3}\mu (\cos \frac{\theta}{3} + \sqrt{3} \sin \frac{\theta}{3}) \right\} \\
& \left. + \frac{3(3\cos \frac{\theta}{3} + \sqrt{3} \sin \frac{\theta}{3})}{8\sqrt{3}\mu^2 \sin \frac{\theta}{3} \cdot (3\cos^2 \frac{\theta}{3} - \sin^2 \frac{\theta}{3})} \ln \left\{ \eta + \frac{2}{3}\mu (\cos \frac{\theta}{3} - \sqrt{3} \sin \frac{\theta}{3}) \right\} \right] + \text{const}
\end{aligned}$$

$$= F_5(\eta, \mu) + m_c^3 \bar{F}_5(\eta, \mu) + \text{const} \quad (9)$$

§. 2. 水平水路 ($i=0$) の場合

(1) は決り立つたり、左でいはる間で Chezy の係数 C を一定とす。

$$d\left(\frac{x}{b}\right) = -\frac{\alpha C^2}{g m_c^3} \left\{ \frac{1}{2}\eta^2 - \frac{1}{4}\eta + \frac{1}{8} - \frac{\frac{1}{8} + m_c^3}{2\eta + 1} \right\} d\eta$$

$$\therefore \frac{x}{b} = \frac{\alpha C^2}{2g} \ln(2\eta + 1) - \frac{\alpha C^2}{g m_c^3} \left\{ \frac{1}{6}\eta^3 - \frac{1}{8}\eta^2 + \frac{1}{8} - \frac{1}{16} \ln(2\eta + 1) \right\} + \text{const}$$

§. 3. 逆に自己の場合。

\dot{i} は正の値をもつてくせよと、(2) は

$$-i d\left(\frac{x}{b}\right) = \frac{\eta^3 - m_c^3}{\eta^3 + \beta(2\eta + 1)} \cdot d\eta, \quad \beta = \frac{g m_c^3}{\alpha C^2 i}$$

となり、上式右辺は B-I) の (8) で $\mu \rightarrow -\beta$ としたものに等しいから。

$$-i \frac{x}{b} = F_4(\eta, -\beta) + m_c^3 \bar{F}_4(\eta, -\beta) + \text{const} \quad (10)$$

§. 4. おとぎき

式自体は少々複雑にはなれが、 $F_1, \bar{F}_1, \dots, F_5, \bar{F}_5$ に対するあらかじめ図、表を作成しておき、左水頭距離をもつる区间を適当に分割するこより割合簡単に水頭形が求められるであろう。

文献。1) VEN TE CHOW: Open-Channel Hydraulics, 2) 例えは 粟津・木村: 演習水理学
3) 木内・安貴: 物部水理学